

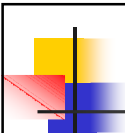


Departamento de Automática 

 Universidad de Alcalá

Ingeniería de Control I
Tema 10
Representación en frecuencia

1

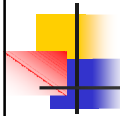


Tema 10. Representación en frecuencia.

- Introducción
- Bode
- Nyquist
- Nichols

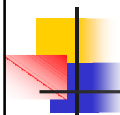
Representación en frecuencia

2



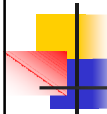
Bibliografía

- Señales y Sistemas. OCW-UC3M.
- Ingeniería de Control Moderna. K. Ogata.
- Automática. OCW-UPV.
- Sistemas realimentados de control. J.J. D'azzo.
- Contemporary Communications Systems with MATLAB. J. Proakis.



Objetivos

- Conocer distintas formas de representación de la información frecuencial
- Analizar el comportamiento de los sistemas a través de su representación de respuesta frecuencial.

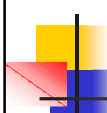


Introducción

- Supongamos un sistema LTI
 - $C(s) = G(s)R(s) \Rightarrow c(t) = g(t) * r(t)$
- Supongamos una entrada sinusoidal:
 - $r(t) = Ae^{j\omega_0 t}$
- Calculando la salida en el t:
 - $c(t) = g(t) * r(t) = \int_{-\infty}^{\infty} r(t - \tau)g(\tau)d\tau =$
 $= \int_{-\infty}^{\infty} Ae^{j(\omega_0(t-\tau))}g(\tau)d\tau = Ae^{j\omega_0 t} \int_{-\infty}^{\infty} g(\tau)e^{-j\omega_0 \tau}d\tau$
 - $c(t) = r(t) \cdot G(s)|_{s=j\omega_0} = r(t) \cdot G(j\omega_0)$
- La exponencial (sinusoidales) es una autofunción en sistemas LTI

Representación en frecuencia

5



- $G(j\omega_0) = |G(j\omega_0)|e^{j\arg(G(j\omega_0))} = Me^{j\alpha}$
- Si $c(t) = r(t) \cdot G(s)|_{s=j\omega_0} = r(t) \cdot G(j\omega_0)$ cuando $r(t) = Ae^{j\omega_0 t} = A(\cos(\omega_0 t) + j\sin(\omega_0 t))$, entonces
 - $|c(t)| = |r(t)||G(j\omega_0)|$
 - $\arg(c(t)) = \arg(r(t)) + \arg(G(j\omega_0))$
- Por tanto:
 - $c(t) = A \cdot |G(j\omega_0)|e^{j(\omega_0 t + \arg(G(j\omega_0)))}$
 - $c(t) = A \cdot |G(j\omega_0)| \cdot$
 $\cdot [\cos(\omega_0 t + \arg(G(j\omega_0))) + j\sin(\omega_0 t + \arg(G(j\omega_0)))]$
 - Por tanto coseno y seno sufren modificación en amplitud y fase.

Representación en frecuencia

6

SISTEMA LINEAL INVARIANTE
G(s)

Si

$Ae^{j\omega_0 t}$ $G(j\omega_0)Ae^{j\omega_0 t}$

$A(\cos\omega_0 t + j\sin\omega_0 t)$ $G(j\omega_0)A(\cos\omega_0 t + j\sin\omega_0 t) =$
 $MA(\cos\alpha + jsin\alpha)(\cos\omega_0 t + j\sin\omega_0 t)$

Entonces?

$A\cos\omega_0 t = \frac{e^{j\omega_0 t} + e^{-j\omega_0 t}}{2}$ $G(j\omega_0)A\cos\omega_0 t???$

$A\sin\omega_0 t$ $G(j\omega_0)A\sin\omega_0 t???$

Representación en frecuencia 7

- Si $G(j\omega_0) = Me^{j\alpha}, x(t) = A\cos\omega_0 t \Rightarrow y(t) = Me^{j\alpha} A\cos(\omega_0 t)$
- OJO:
- Si entrada es $x(t) = Ae^{j\omega_0 t}$
 - Coincide $\frac{y(t)}{x(t)} = G(j\omega_0) = \frac{Y(s)}{X(s)} \Big|_{s=j\omega_0}$
- Pero si entrada es $x(t) = A\cos(\omega_0 t)$ o cualquier otra
- YA NO:
 - $\frac{y(t)}{x(t)} \neq G(j\omega_0) = \frac{Y(s)}{X(s)} \Big|_{s=j\omega_0}$

Representación en frecuencia 8

1. Introducción.

SISTEMA LINEAL INVARIANTE
G(s)

$$x(t) = X \text{sen } \omega t \qquad y(t) = Y \text{sen } (\omega t + \phi)$$

$$G(s) = \frac{Y(s)}{X(s)} \qquad G(j\omega) = \frac{Y(j\omega)}{X(j\omega)}$$

$$|G(j\omega)| = \left| \frac{Y(j\omega)}{X(j\omega)} \right|$$

$$\angle G(j\omega) = \angle \frac{Y(j\omega)}{X(j\omega)}$$

$$G(j\omega) = |G(j\omega)| e^{j\phi}$$

Representación en frecuencia 9

- Ante entrada sinusoidal, FT (módulo y fase) en $s=j\omega$
- $M(s) = \frac{k(s-z_1)(s-z_2)\dots(s-z_n)}{(s-p_1)(s-p_2)\dots(s-p_m)} \Big|_{s=j\omega}$

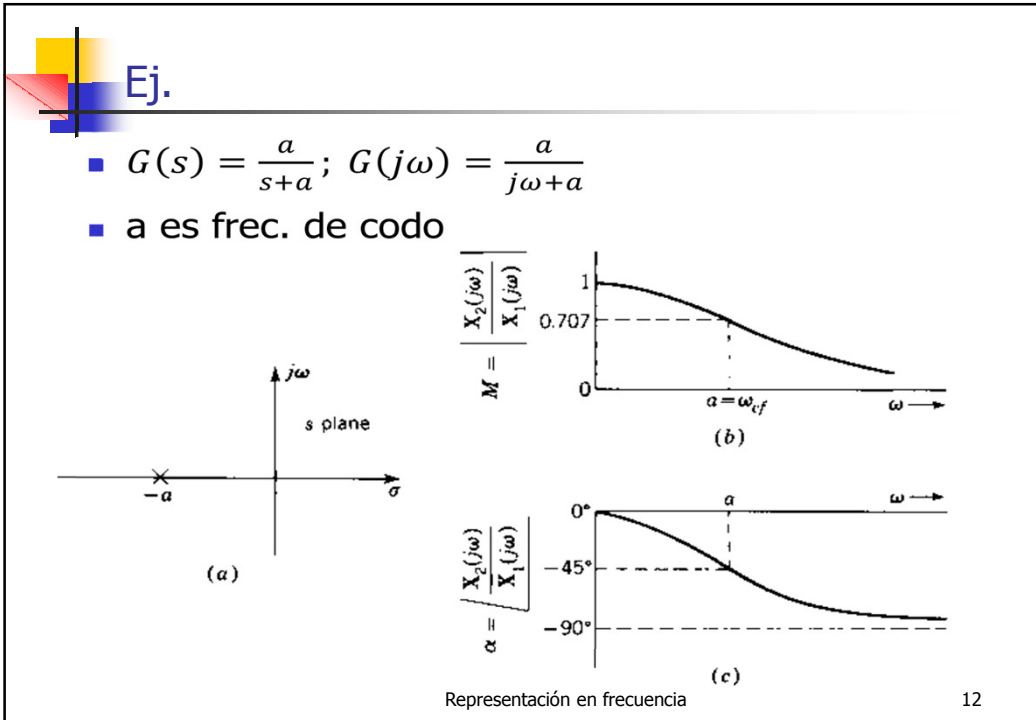
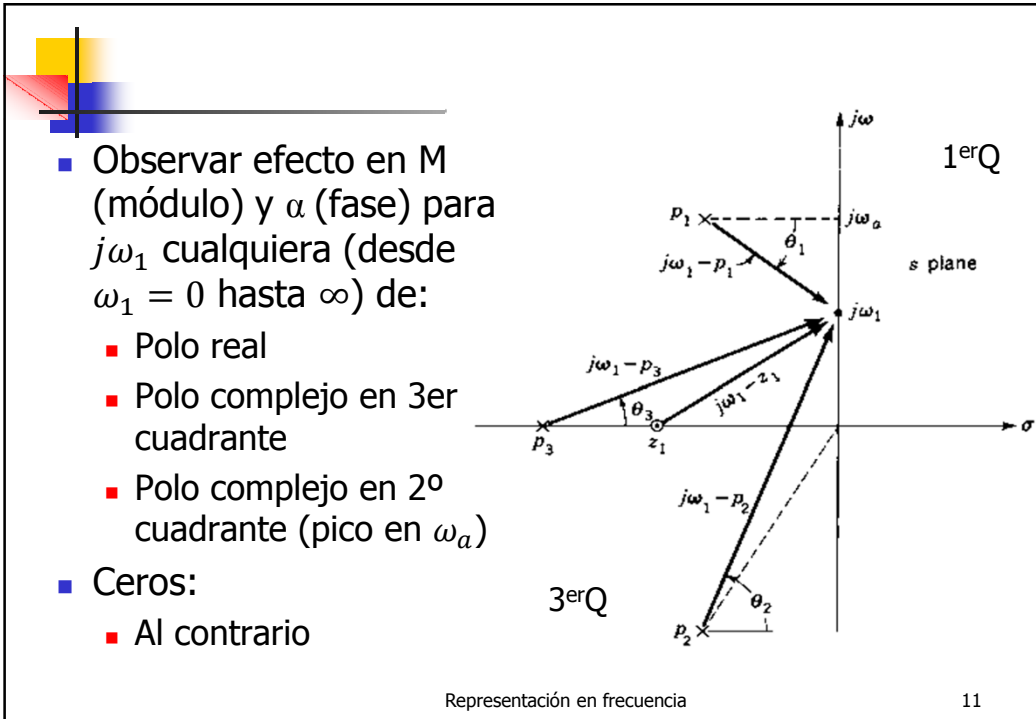
$$x_1(t) = X_1 \sin \omega t \qquad x_2(t) = X_2 \sin(\omega t + \alpha)$$

$$M = \left| \frac{X_2(j\omega)}{X_1(j\omega)} \right| = \left| \frac{P(j\omega)}{Q(j\omega)} \right| = \left| \frac{K(j\omega - z_1)(j\omega - z_2) \dots}{(j\omega - p_1)(j\omega - p_2) \dots} \right|$$

$$\alpha = \angle P(j\omega) - \angle Q(j\omega)$$

$$= \angle K + \angle j\omega - z_1 + \angle j\omega - z_2 + \dots - \angle j\omega - p_1 - \angle j\omega - p_2 - \dots$$

Representación en frecuencia 10

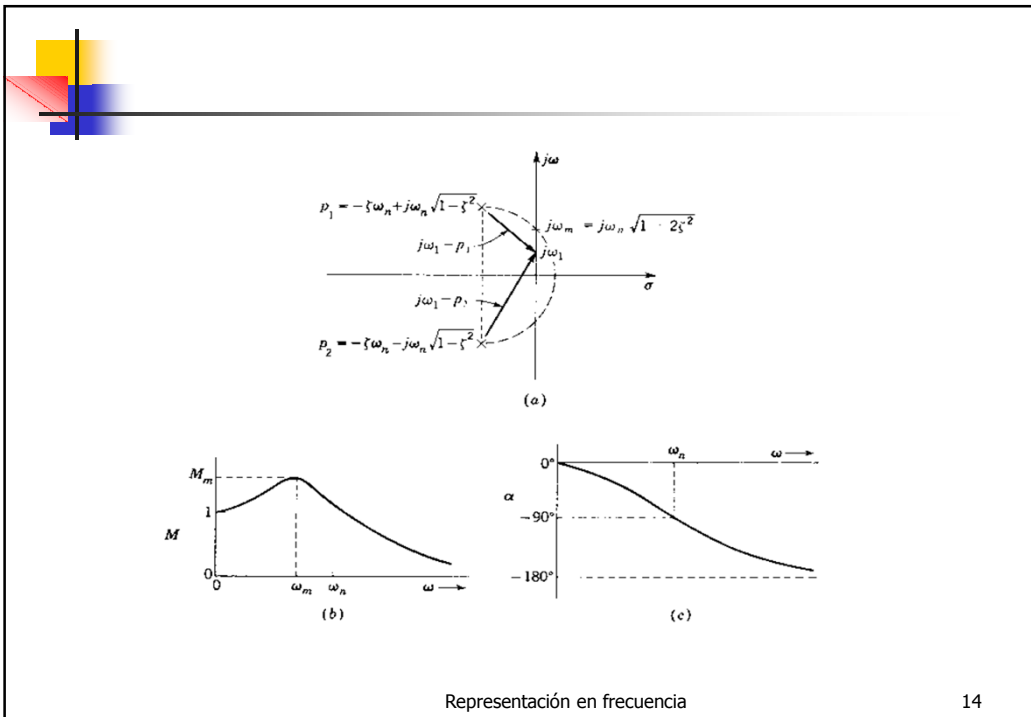


Ej.2

- $G(s) = \frac{\omega_n^2}{s^2 + 2\xi\omega_n s + \omega_n^2} = \frac{\omega_n^2}{(s-p_1)(s-p_1^*)}$
- En $s=j\omega$ y derivando respecto de ω
 - Máximo de módulo: $M_m = \frac{1}{2\xi\sqrt{1-\xi^2}}$
 - En pulsación de resonancia $\omega_m = \omega_n\sqrt{1-2\xi^2}$
 - Se puede demostrar que hay pico si $\xi < \sqrt{0.5} = 0.707$

Representación en frecuencia

13



Representación en frecuencia

14

2. Diagramas logarítmicos. Diagramas de Bode.

- El diagrama de Bode se representa mediante dos gráficas:
 - Gráfica del logaritmo de la magnitud en función de ω .
 - Gráfica del ángulo de fase en grados en función de ω .

La representación de una magnitud logarítmica expresada en decibelios es:

$$G(j\omega)|_{dB} = 20 \log|G(j\omega)|$$

Ventajas de utilizar el diagrama de Bode:

- La multiplicación de magnitudes se convierte en suma.
- Representación mediante aproximaciones asintóticas.
- Mediante el uso de escala logarítmica permite ampliar el rango de bajas frecuencias.

Representación en frecuencia 15

2. Diagramas logarítmicos. Diagramas de Bode.

- De forma genérica:

$$G(j\omega)H(j\omega) = \frac{A_1(j\omega)A_2(j\omega)}{B_1(j\omega)B_2(j\omega)}$$

$$|G(j\omega)H(j\omega)| = 20 \log|A_1(j\omega)| + 20 \log|A_2(j\omega)| - 20 \log|B_1(j\omega)| - 20 \log|B_2(j\omega)|$$

$$\angle G(j\omega)H(j\omega) = \angle A_1(j\omega) + \angle A_2(j\omega) - \angle B_1(j\omega) - \angle B_2(j\omega)$$

- Unidades logarítmicas para expresar las bandas de frecuencia (pulsación): $\log_2 \frac{\omega}{1}$ (octavas), $\log_{10} \frac{\omega}{1}$ (décadas)
 - **Octava:**
 - **Década:**

A horizontal number line with tick marks at 10, 20, 40, and 80, ending with an arrow and the label 'f'.

A horizontal number line with tick marks at 10, 100, 1000, and 10000, ending with an arrow and the label 'f'.

Representación en frecuencia 16

2. Diagramas de Bode. Factores básicos de $G(j\omega) H(j\omega)$

■ La ganancia K.

- **Módulo**
 - $20 \log(K) \rightarrow \text{Cte}$
 - $20 \log(10K) = 20 \log(K) + 20$
 - $20 \log(10^n K) = 20 \log(K) + 20n$
 - $20 \log(K) = -20 \log\left(\frac{1}{K}\right)$
- **Fase**
 - $\varphi = 0^\circ$ ó
 - $\varphi = 180^\circ$

$$A(s) = K_0 \frac{s^q (s + z_1)(s + z_2) \dots (s + z_M)}{(s + p_1)(s + p_2) \dots (s + p_N)}$$

↓

$$A(s) = \frac{\boxed{K_0 z_1 z_2 \dots z_M}}{\boxed{p_1 p_2 \dots p_N}} \cdot \frac{s^q \left(1 + \frac{s}{z_1}\right) \left(1 + \frac{s}{z_2}\right) \dots \left(1 + \frac{s}{z_M}\right)}{\left(1 + \frac{s}{p_1}\right) \left(1 + \frac{s}{p_2}\right) \dots \left(1 + \frac{s}{p_N}\right)}$$

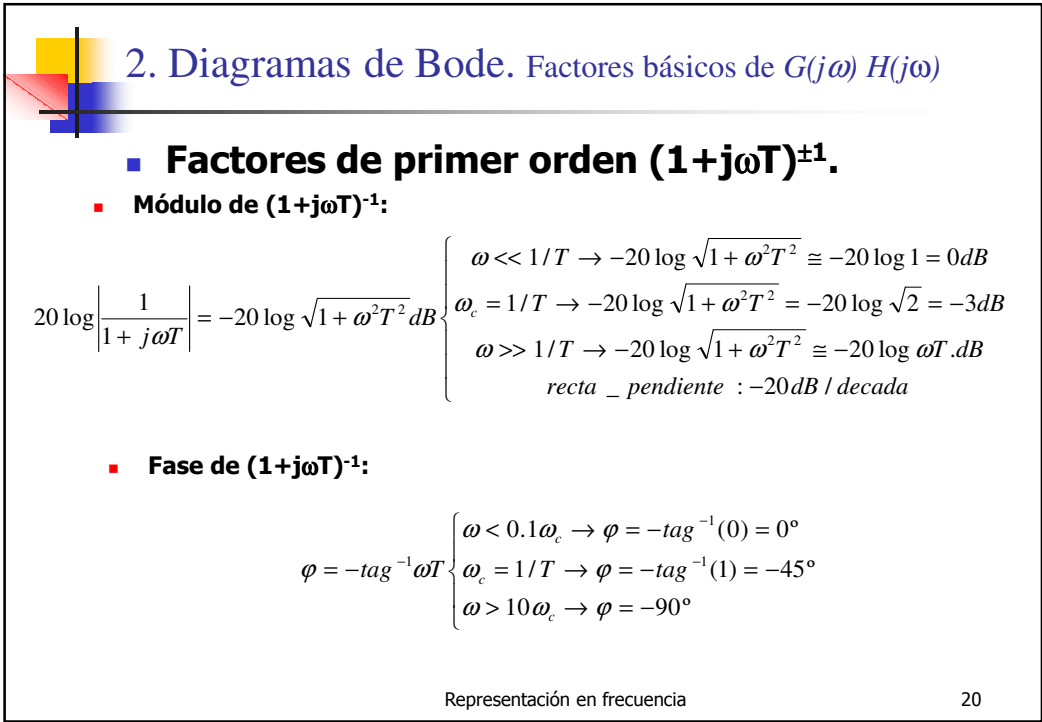
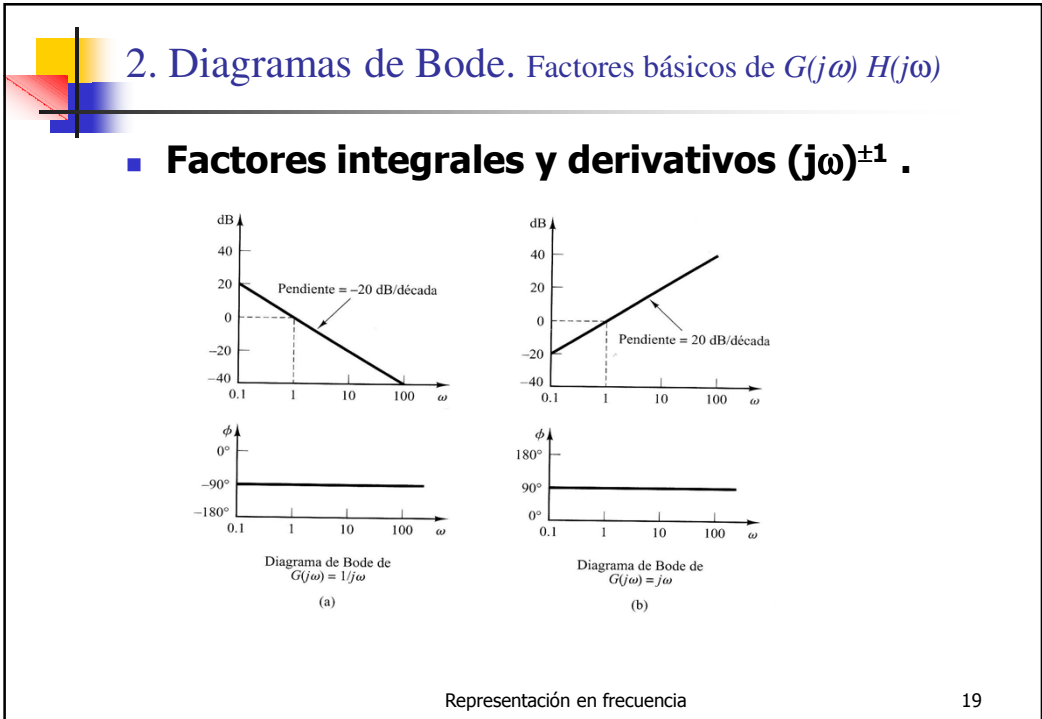
K_p
(Tomado de Tec. Eca.)
17

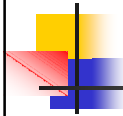
2. Diagramas de Bode. Factores básicos de $G(j\omega) H(j\omega)$

■ Factores integrales y derivativos $(j\omega)^{\pm 1}$.

- **Módulo**
 - $20 \log \left| \frac{1}{j\omega} \right| = -20 \log \omega.dB$
 - $20 \log |j\omega| = 20 \log \omega.dB$
 - $20 \log \left| \frac{1}{(j\omega)^n} \right| = -20n \log |j\omega| = -20n \log \omega.dB$
 - $20 \log |(j\omega)^n| = 20n \log \omega.dB$
- **Fase**
 - $\varphi = \pm 90^\circ$

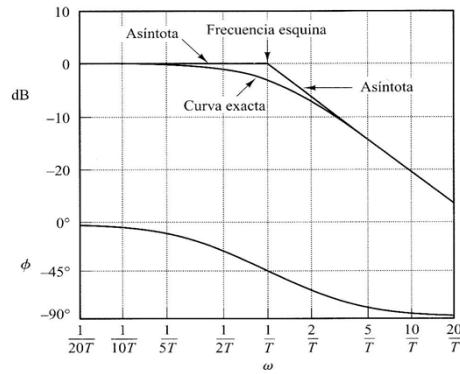
Representación en frecuencia 18





2. Diagramas de Bode. Factores básicos de $G(j\omega) H(j\omega)$

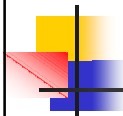
■ Factores de primer orden $(1+j\omega T)^{-1}$:



Curva de magnitud logarítmica, junto con las asíntotas y la curva de ángulo de fase de $1/(1 + j\omega T)$.

Representación en frecuencia

21



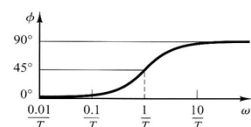
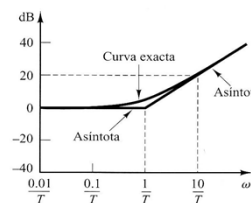
2. Diagramas de Bode. Factores básicos de $G(j\omega) H(j\omega)$

■ Módulo de $(1+j\omega T)^{+1}$:

$$20 \log|1 + j\omega T| = 20 \log \sqrt{1 + \omega^2 T^2} \text{ dB} \begin{cases} \omega \ll 1/T \rightarrow 20 \log \sqrt{1 + \omega^2 T^2} \cong 20 \log 1 = 0 \text{ dB} \\ \omega = \omega_c = 1/T \rightarrow 20 \log \sqrt{1 + \omega^2 T^2} \cong 20 \log \sqrt{2} = 3 \text{ dB} \\ \omega \gg 1/T \rightarrow 20 \log \sqrt{1 + \omega^2 T^2} \cong 20 \log \omega T \text{ dB} \\ \text{recta _ pendiente : } +20 \text{ dB / decada} \end{cases}$$

■ Fase de $(1+j\omega T)^{+1}$:

$$\phi = \text{tag}^{-1} \omega T \begin{cases} \omega < \omega_c / 10 \rightarrow \phi = \text{tag}^{-1}(0) = 0^\circ \\ \omega = \omega_c = 1/T \rightarrow \phi = \text{tag}^{-1}(1) = 45^\circ \\ \omega > 10\omega_c \rightarrow \phi = 90^\circ \end{cases}$$



Representación en frecuencia

22

2. Diagramas de Bode. Factores básicos de $G(j\omega) H(j\omega)$

- **Factores cuadráticos $[1+2\xi(j\omega/\omega_n) + (j\omega/\omega_n)^2] \pm 1$.**
 - **Módulo :**

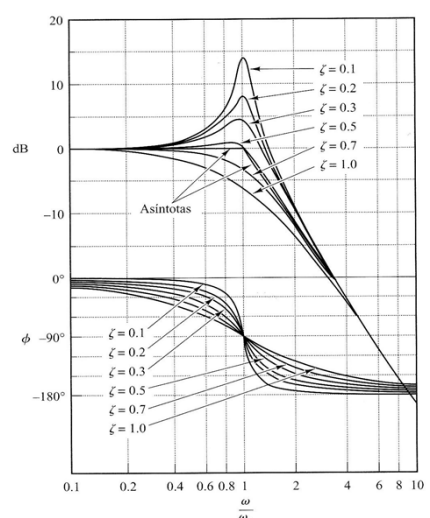
$$20 \log \left| \frac{1}{1 + 2\xi \left(j \frac{\omega}{\omega_n} \right) + \left(j \frac{\omega}{\omega_n} \right)^2} \right| = -20 \log \sqrt{\left(1 - \frac{\omega^2}{\omega_n^2} \right)^2 + \left(2\xi \frac{\omega}{\omega_n} \right)^2}$$

$$\Rightarrow \begin{cases} \omega \ll \omega_n \rightarrow -20 \log(1) = 0 \text{ dB} \\ \omega \gg \omega_n \rightarrow -40 \log \left(\frac{\omega}{\omega_n} \right) \rightarrow \text{recta } _ \text{pte.} : -40 \text{ dB / década} \\ \omega = \omega_c = \omega_n \rightarrow -20 \log(2 \cdot \xi) = -6 - 20 \log(\xi) \text{ dB} \end{cases}$$
 - **Fase**

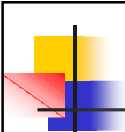
$$\varphi = -\tan^{-1} \left[\frac{2\xi \frac{\omega}{\omega_n}}{1 - \left(\frac{\omega}{\omega_n} \right)^2} \right] \rightarrow \begin{cases} \omega < \omega_n / 10 \rightarrow \varphi = -\text{tag}^{-1}(0) = 0^\circ \\ \omega = \omega_n \rightarrow \varphi = -\text{tag}^{-1} \left(\frac{2\xi}{0} \right) = -\text{tag}^{-1}(\infty) = -90^\circ \\ \omega > 10\omega_n \rightarrow \varphi = -180^\circ \end{cases}$$

Representación en frecuencia 23

2. Diagramas de Bode. Factores básicos de $G(j\omega) H(j\omega)$

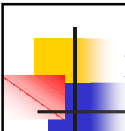
- **Factores cuadráticos $[1+2\xi(j\omega/\omega_n) + (j\omega/\omega_n)^2] \pm 1$.**


Representación en frecuencia 24



- Ej:
- Obtener diagramas de Bode de:
- $$GH(s) = \frac{256(s+1)}{(s+4)(s^2+8s+64)}$$
- $$GH(s)|_{s=j\omega} = \frac{256(1+j\omega)}{4 \cdot 64(1+j\omega\frac{1}{4})(1-\frac{\omega^2}{8^2}+j\frac{\omega}{8})}$$

Representación en frecuencia 25



2.1 Diagramas de Bode con Matlab

[mag,fase,w]=bode(num,den,w)

- mag → Matriz con los valores para representar la magnitud.
- fase → Matriz con los valores para representar la fase.
- w → Matriz con los valores de la frecuencia. (Opcional).
- num → Numerador de la función de transferencia.
- den → Denominador de la función de transferencia.

w=logspace(a,b,n)

Genera logarítmicamente una matriz de **n** puntos espaciados de forma equitativa entre 10^a y 10^b .

Representación en frecuencia 26

2.1 Diagramas de Bode con Matlab. Ejemplo1

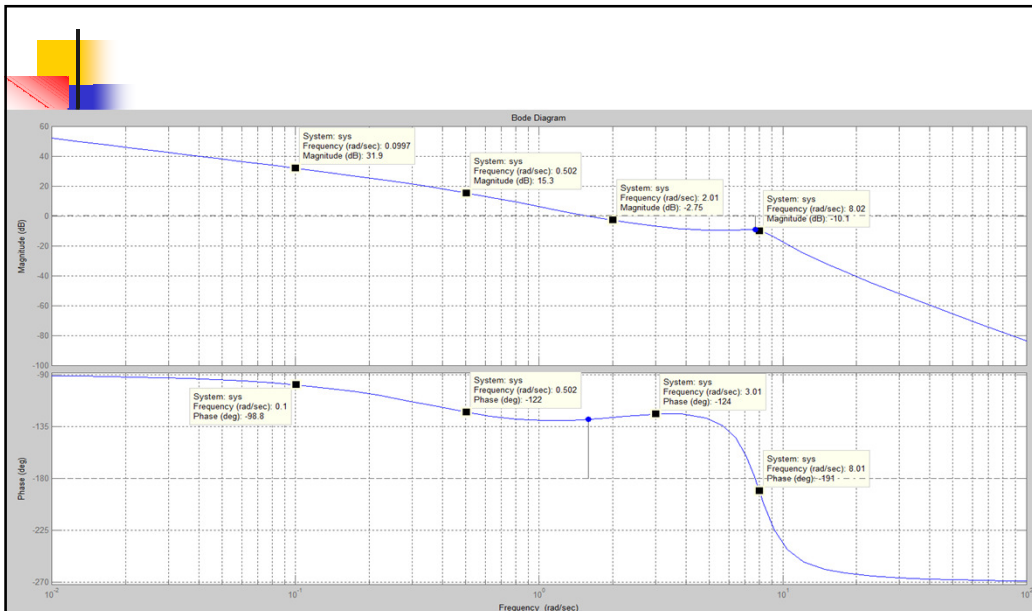
- Representar los diagramas logarítmicos de magnitud y de fase (diagramas de Bode) de un sistema que tiene la siguiente función de transferencia en lazo abierto:

$$G(j\omega)H(j\omega) = \frac{4(1 + 0.5j\omega)}{j\omega(1 + 2j\omega)(1 + 0.05j\omega - \frac{\omega^2}{8^2})}$$

```
%--- Ejemplo 1: RESPUESTA EN FRECUENCIA ---
nG=4*[0.5 1];
dG=conv(conv([1 0],[2 1]),[0.015625 0.05 1]);
bode(nG,dG)
title('Diagrama de Bode')
ylabel('Fase(grados) Amplitud(dB)')
xlabel('Frecuencia (rad/seg)')
```

Representación en frecuencia

27



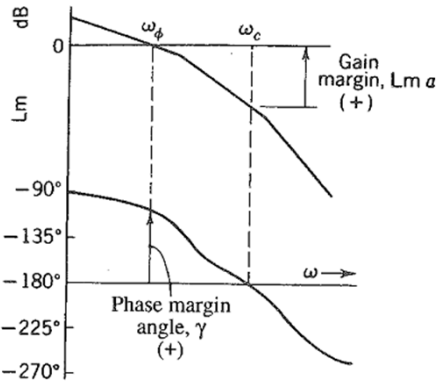
- Margen de ganancia y de fase.

Representación en frecuencia

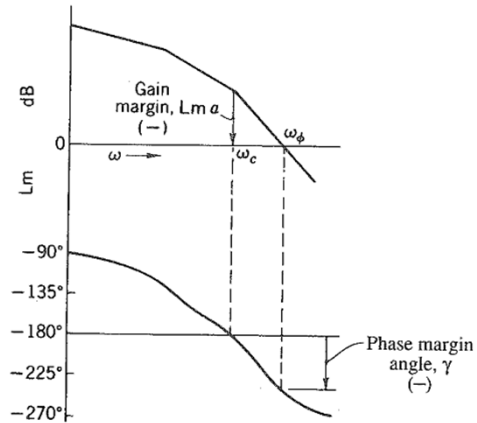
28

Estabilidad relativa sobre Bode

- MG: factor con el que modificar la ganancia para producir inestabilidad en ω_c (puls. de MG)
- MF: $\gamma = 180^\circ + \angle G(j\omega_\phi)H(j\omega_\phi)$
- ω_ϕ (puls. de Margen de Fase)



- Sistema estable



- Sistema inestable

Representación en frecuencia

29

3. Diagramas polares. Nyquist.

- El diagrama polar es el lugar geométrico de los vectores

$$G(j\omega) = |G(j\omega)|e^{j\varphi}$$

cuando ω varía de cero a infinito.

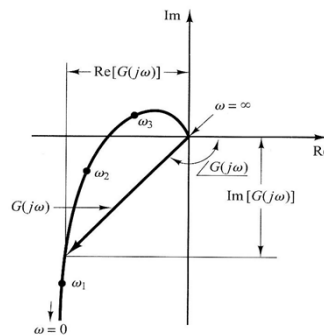
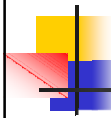


Diagrama polar.

Representación en frecuencia

30



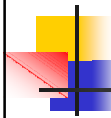
3. Diagramas polares. Nyquist.

- **Factores integrales o derivativos $(j\omega T)^{\pm 1}$.**

- $G(j\omega) = \frac{1}{j\omega} = -j\frac{1}{\omega} = \frac{1}{\omega} \angle -\pi/2$ **Es el eje imaginario negativo**
- $G(j\omega) = j\omega$ **Es el eje imaginario positivo**

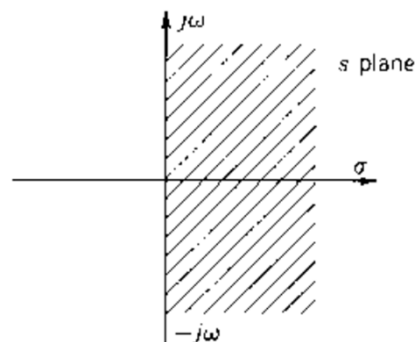
Representación en frecuencia

31



3. Diagramas polares. Nyquist.

- $G(j\omega) = \frac{1}{j\omega} = -j\frac{1}{\omega} = \frac{1}{\omega} \angle -\pi/2$. Eje imaginario negativo recorrido desde $|G(j0)| = -\infty$ a $|G(j\infty)| = -0$ cuando $\omega = 0: \infty$
- $G(j\omega) = j\omega$. Eje imaginario positivo.



representación en frecuencia

32

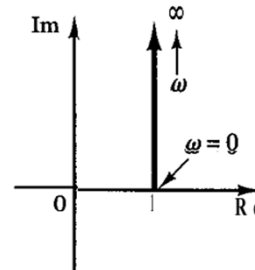
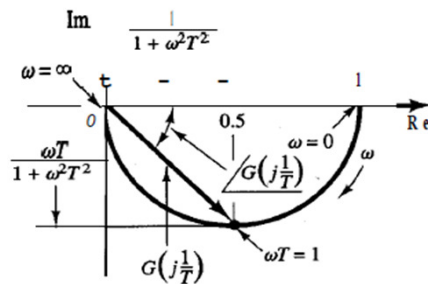
3. Diagramas polares. Nyquist.

- Factores de primer orden $(1+j\omega T)^{\pm 1}$.

$$G(j\omega) = \frac{1}{1+j\omega T} = \frac{1}{\sqrt{1+\omega^2 T^2}} \angle -\tan^{-1} \omega T$$

$$G(j0) = 1 \angle 0^\circ$$

$$G(j\infty) = 0 \angle -90^\circ$$



Representación en frecuencia

33

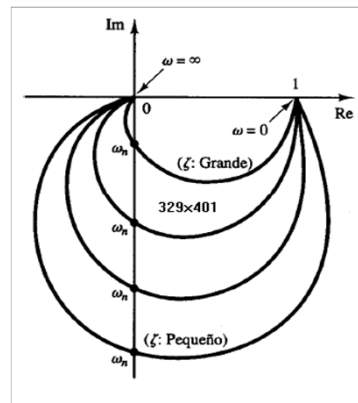
3. Diagramas polares. Nyquist.

- Factores cuadráticos $[1+2\zeta(j\omega/\omega_n) + (j\omega/\omega_n)^2]^{-1}$.

$$G(j\omega) = \frac{1}{1+2\zeta\left(j\frac{\omega}{\omega_n}\right) + \left(j\frac{\omega}{\omega_n}\right)^2}, \quad \text{para } \zeta > 0$$

$$G(j0) = 1 \angle 0^\circ$$

$$G(j\infty) = 0 \angle -180^\circ$$



Representación en frecuencia

34

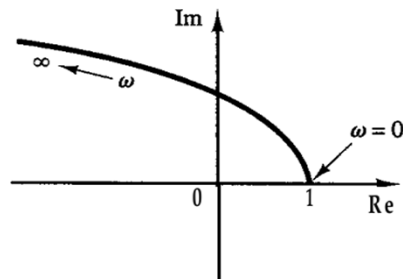
- Factores cuadráticos $[1 + 2\xi(j\omega/\omega_n) + (j\omega/\omega_n)^2]^{-1}$.

$$G(j\omega) = 1 + 2\xi \left(j \frac{\omega}{\omega_n} \right) + \left(j \frac{\omega}{\omega_n} \right)^2$$

$$\lim_{\omega \rightarrow 0} G(j\omega) = 1 \angle 0^\circ$$

$$= \left(1 - \frac{\omega^2}{\omega_n^2} \right) + j \left(\frac{2\xi\omega}{\omega_n} \right)$$

$$\lim_{\omega \rightarrow \infty} G(j\omega) = \infty \angle 180^\circ$$



35

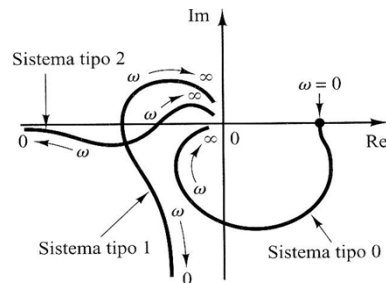
3. Diagramas polares. Nyquist.

- Formas generales de los diagramas polares:

$$G(j\omega) = \frac{K(1 + j\omega T_a)(1 + j\omega T_b)\dots}{(j\omega)^\lambda (1 + j\omega T_1)(1 + j\omega T_2)\dots} = \frac{b_0(j\omega)^m + b_1(j\omega)^{m-1} + \dots}{a_0(j\omega)^n + a_1(j\omega)^{n-1} + \dots}$$

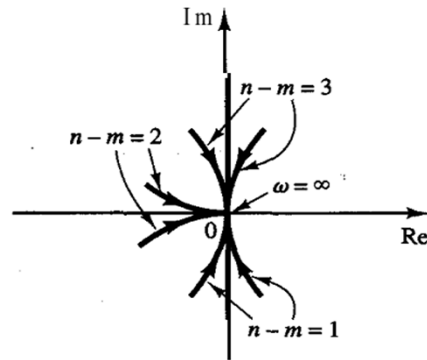
$$n > m$$

- Comienzo:
- Para $\lambda=0$ o *sistema de tipo 0*.
- Para $\lambda=1$ o *sistema de tipo 1*.
- Para $\lambda=2$ o *sistema de tipo 2*.



Diagramas polares de sistemas de tipo 0, tipo 1 y tipo 2.

- Finalización ($\omega \rightarrow \infty$)



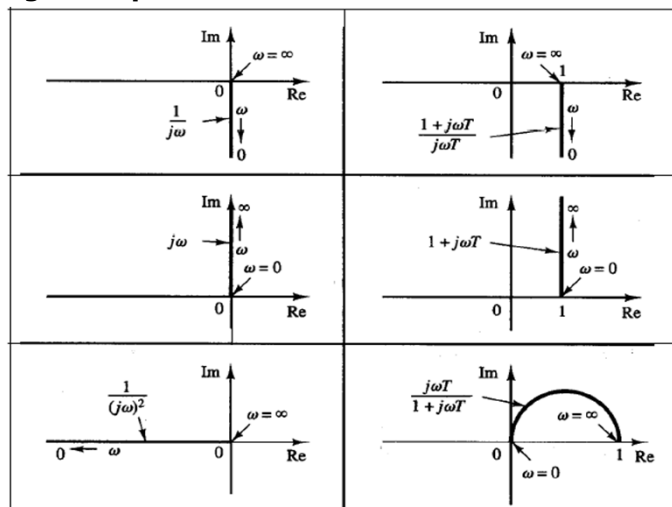
$$G(j\omega) = \frac{b_o(j\omega)^m + \dots}{a_o(j\omega)^n + \dots}$$

Representación en frecuencia

37

3. Diagramas polares. Nyquist.

- Diagramas polares de funciones de transferencia simples:

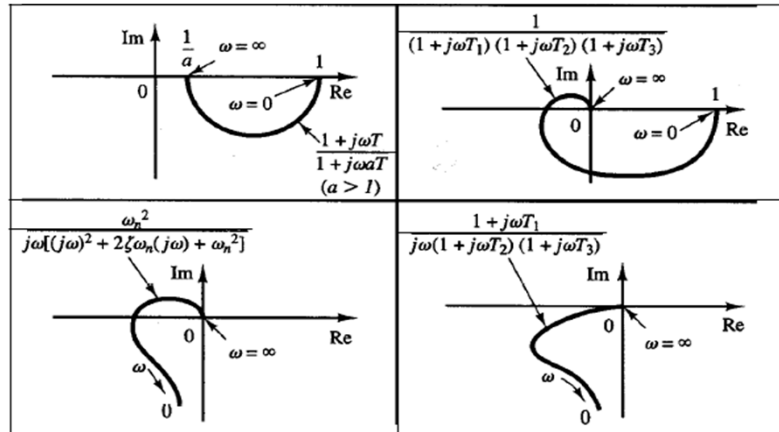


Representación en frecuencia

38

3. Diagramas polares. Nyquist.

- Diagramas polares de funciones de transferencia simples:



Representación en frecuencia

39

3.1 Diagramas de Nyquist con Matlab

nyquist(num,den)

- *num* → Numerador de la función de transferencia.
- *Den* → Denominador de la función de transferencia.

Representación en frecuencia

40

3.1 Diagramas de Nyquist con Matlab. Ejemplo2

- Representa el diagrama polar del sistema cuya función de transferencia es el siguiente:

$$G(j\omega) = \frac{1}{(1 + j\omega)(1 + 2j\omega)(1 + 3j\omega)}$$

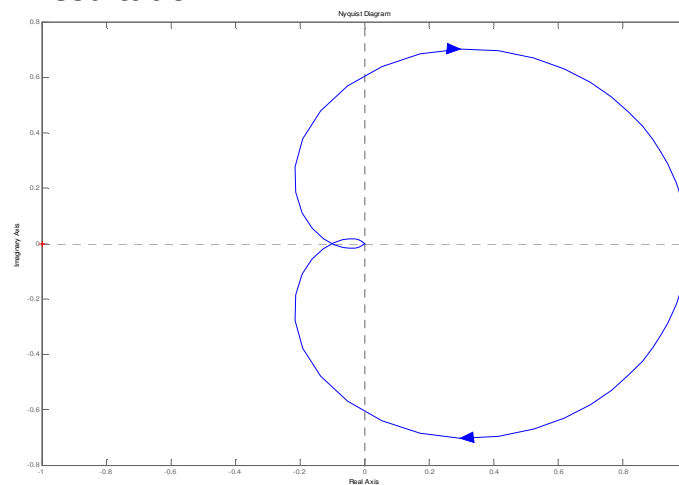
```
%--- Ejemplo 2: RESPUESTA EN FRECUENCIA ---  
nG=1;  
dG=conv(conv([1 1],[2 1]),[3 1]);  
Nyquist(nG,dG)  
title('Diagrama de Nyquist')  
ylabel('Eje imaginario')  
xlabel('Eje real')
```

Representación en frecuencia

41

3.1 Diagramas de Nyquist con Matlab. Ejemplo2

- Resultado

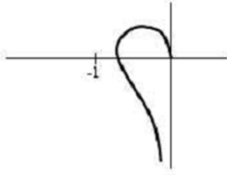


Representación en frecuencia

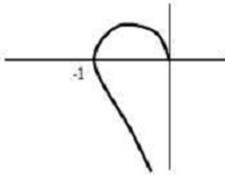
42

Estabilidad relativa sobre Nyquist

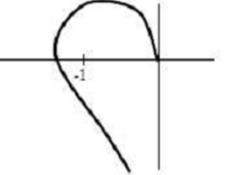
- Se observa el diagrama de Nyquist de $G(j\omega)H(j\omega)$ y su distancia del punto $(-1,0)$.



estable



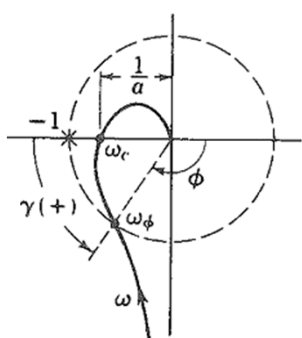
marginalmente estable



inestable

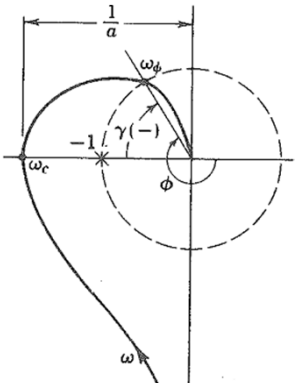
Representación en frecuencia 43

- MG: $|G(j\omega_c)H(j\omega_c)| \cdot a \Rightarrow$ inestable



- Sistema estable

- MF: si desplazamos fase γ en $\omega_\phi \Rightarrow$ inestable



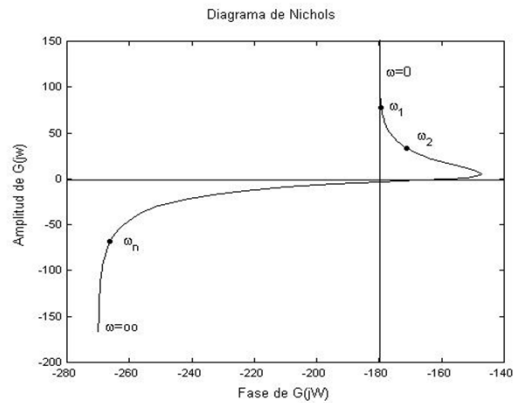
- Sistema inestable

Representación en frecuencia 44

4. Diagramas de magnitud logarítmica respecto de la fase. Diagramas de Nichols.

- Las dos gráficas de Bode se combinan en una única gráfica. En el eje imaginario se representa la amplitud y en el real la fase para cada valor de frecuencia.

- Aumentar o disminuir la ganancia \Rightarrow desplazamiento vertical hacia arriba o hacia abajo.

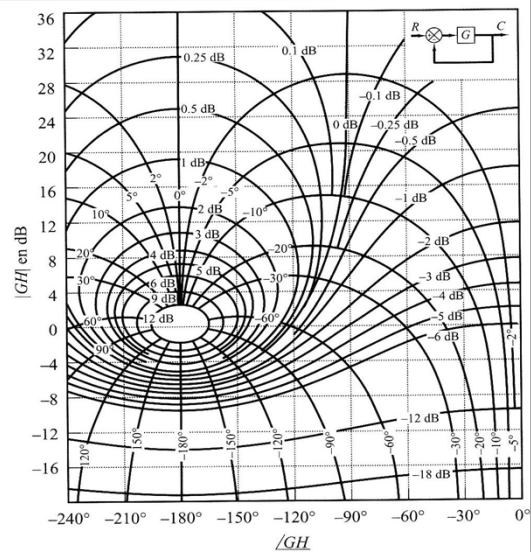


Representación en frecuencia

45

5. Respuesta en frecuencia en lazo cerrado de sistemas con realimentación unitaria

- Carta de Nichols.
- Lugares geométricos M (Magnitud constante) y N (fase constante)
- Sobre la carta se representa la FT en lazo abierto $G(j\omega)$

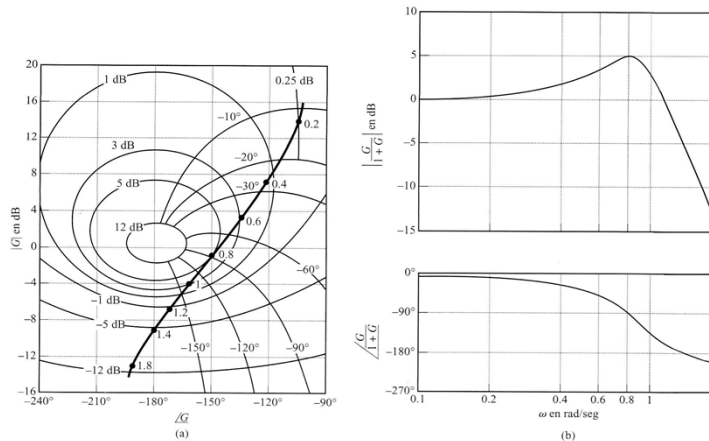


Representación en frecuencia

46

5. Respuesta en frecuencia en lazo cerrado de sistemas con realimentación unitaria. Ejemplo

$$G(j\omega) = \frac{1}{j\omega(j\omega + 1)(0.5j\omega + 1)}$$



Representación en frecuencia

47

5.1 Diagramas de Nichols con Matlab

$$[mag, fase, w] = nichols(num, den, w)$$

- *num* → Numerador de la función de transferencia en lazo abierto.
- *Den* → Denominador de la función de transferencia en lazo abierto.
- *W* → Matriz con los valores de frecuencia. (Opcional)
- *mag* → Matriz para representar la magnitud en lazo cerrado.
- *fase* → Matriz para representar la fase en lazo cerrado.

Los parámetros: **[mag, fase, w]**, nos calculan la magnitud y la fase para una representación en lazo cerrado con realimentación unitaria.

Ngrid('new')

Representa los círculos de magnitud y fase constantes: M y N.

Representación en frecuencia

48

5.1 Diagramas de Nichols con Matlab. Ejemplo

- Representa el diagrama Nichols del sistema cuya función de transferencia e L. A. es el siguiente:

$$G(s) = \frac{1}{0.2s^3 + 1.2s^2 + s}$$

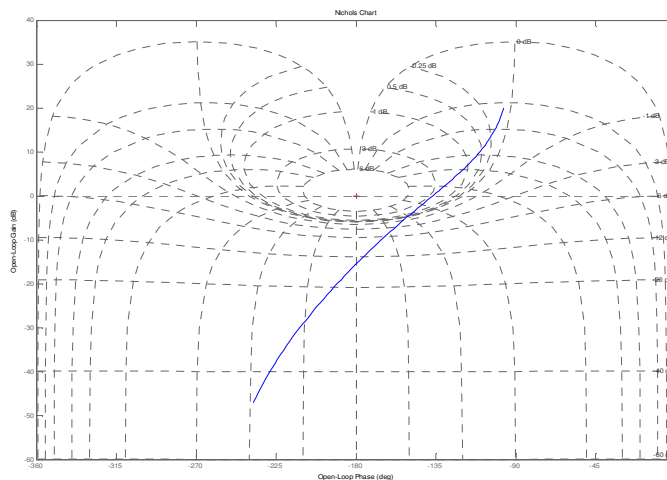
```
%--- Ejemplo 5: RESPUESTA EN FRECUENCIA ---  
  
nG=1;  
dG=[0.2 1.2 1 0];  
w=logspace(-1,1,100);  
Ngrid('new')  
Nichols(nG,dG,w)  
title('Diagrama de Nichols')  
ylabel('Amplitud de G(jw)')  
xlabel('Fase de G(jW)')
```

Representación en frecuencia

49

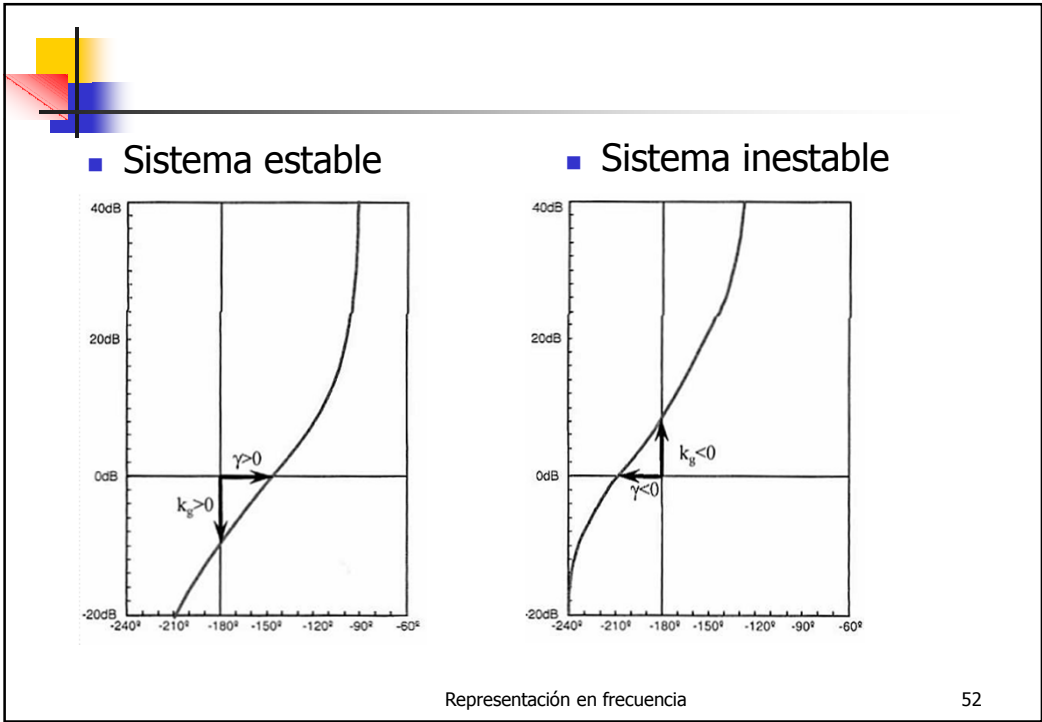
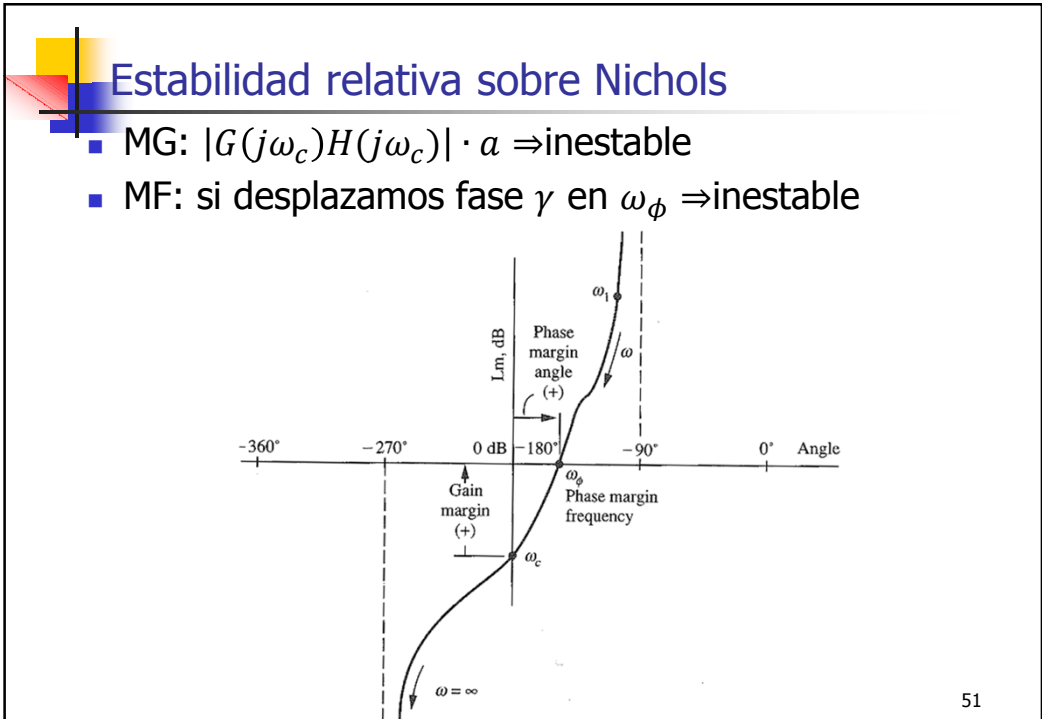
5.1 Diagramas de Nichols con Matlab. Ejemplo

- Resultado



Representación en frecuencia

50



Representación en frecuencia



Estabilidad relativa

- Estudia la lejanía de un sistema a la situación de inestabilidad
- Márgenes de ganancia o fase representan cuánto se puede aumentar la ganancia o fase del sistema en bucle abierto sin que el sistema en bucle cerrado se haga inestable

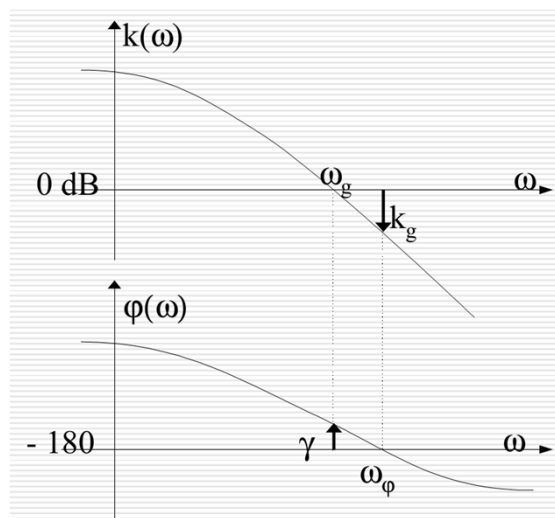
Representación en frecuencia

53



Bode

- Estable



Representación en frecuencia

54

